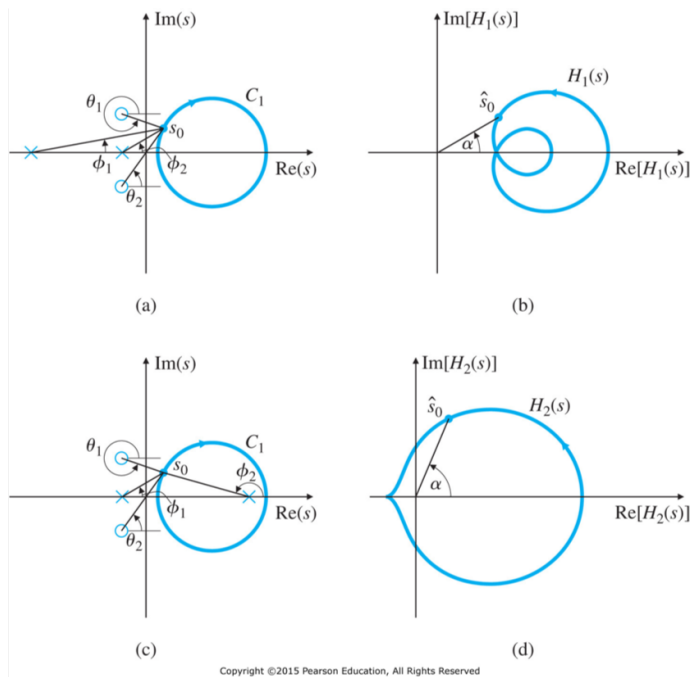


## 3 The Nyquist Stability Criterion

The Nyquist stability criterion relates the open-loop frequency response to the number of closed-loop poles of the system in the RHP.

### 3.1 The Argument Principle

A contour map of a complex function will encircle the origin  $Z - P$  times, where  $Z$  is the number of zeros and  $P$  is the number of poles of the function inside the contour.



Copyright ©2015 Pearson Education, All Rights Reserved

- Consider TF  $H_1(s)$  whose poles and zeros are indicated in the s-plane in Fig. (a). We wish to evaluate  $H_1$  for values of  $s$  on the clockwise contour  $C_1$ . We choose the test point  $s_o$  for evaluation. The resulting complex quantity has the form  $H_1(s_o) = \vec{v} = |\vec{v}|e^{j\alpha}$  with the condition

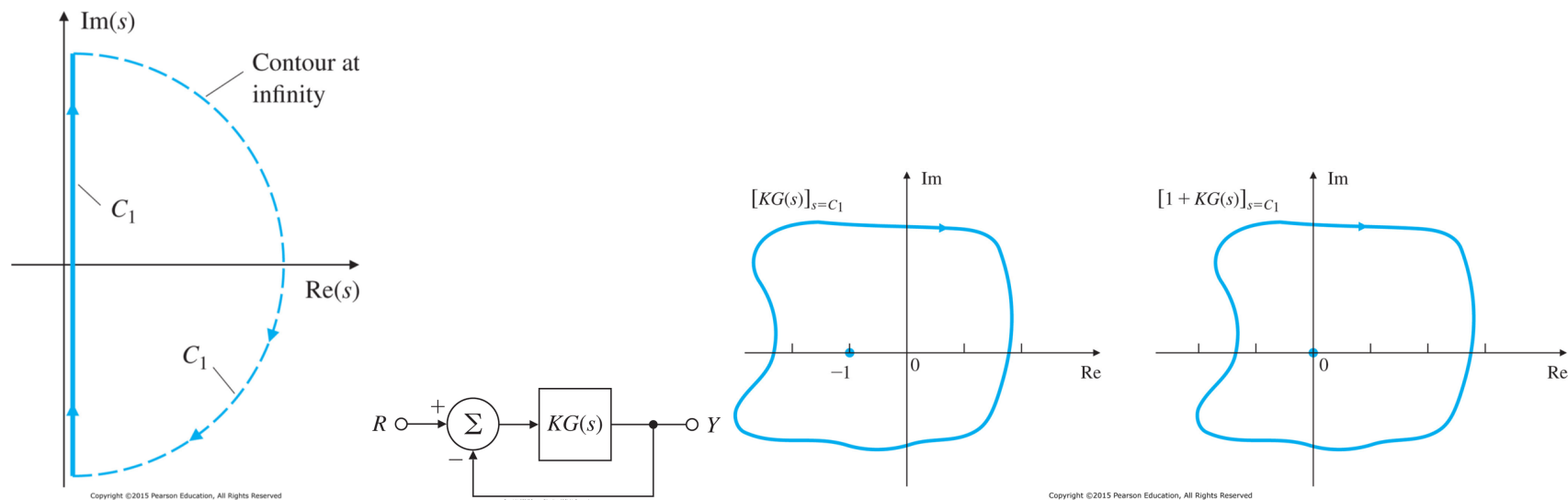
$$\alpha = \theta_1 + \theta_2 - \phi_1 - \phi_2$$

As  $s$  transverse  $C_1$  in clockwise direction starting at  $s_o$ , the angle  $\alpha$  of  $H_1(s)$  in Fig. (b) will change, but it will not undergo a net change of  $360^\circ$  as long as there are no poles and zeros within  $C_1$ .

- Consider TF  $H_2(s)$ , whose pole-zero pattern is shown in Fig. (c). Note that it has a singularity (pole) within  $C_1$ . In this case, the angle  $\phi_2$  from pole within  $C_1$  undergoes a net change of  $-360^\circ$  after one full transverse of  $C_1$ . Therefore,  $H_2(s)$  encircles the origin in the counterclockwise direction, as shown in Fig. (d). On the contrary, if the  $H(s)$  has zero within  $C_1$ ,  $H(s)$  mapping encircles the origin in clockwise direction.

## 3.2 Application of the Argument Principle to Control Design

- Nyquist 경로  $C_1$ :  $s$  평면 우반면 전체를 일주하도록 잡은 경로,  $j\omega$  축 위에 극이나 영점이 있으면 이들 주위로 반원을 따라 지나가도록 그림처럼 시계방향으로 설정할 수 있다. [본 교재에서는 시계방향으로 설정되어 있음, 타교재에서는 반시계방향으로 설정된 경우도 있으니 주의]



- Nyquist 선도는 극좌표선도를 Nyquist path  $C_1$ 을 따라서 mapping된 전달함수  $KG(j\omega)$ 의 closed path
  - 주파수 응답  $KG(j\omega)$ 의 극좌표 선도는  $\omega$ 가 0에서  $\infty$ 로 변화하는데 대하여  $KG(j\omega)$ 의 크기와 위상각을 극좌표 상에 그린 것
  - 극좌표 선도는  $\omega : 0 \rightarrow \infty$ 으로 변함에 따라 벡터  $|KG(j\omega)| \angle KG(j\omega)$ 의 궤적이다.

- Nyquist 안정도 판별: 루프 전달함수  $KG(s)$ 의 주파수 응답 특성의 정보로부터 그 시스템의 폐루프시스템의 절대 및 상대 안정도를 조사할 수 있음. 이 안정도 판별법을 사용하면 특성방정식의 근을 구하지 않아도 되는 장점이 있음.
  - Nyquist 안정도 판별법은 루프 전달함수 주파수응답  $KG(j\omega)$ 를  $s$ 평면의 오른쪽 반평면에 존재하는  $F(s) = 1 + KG(s)$ 의 영점과 극의 수와 관련시키는 방법
  - 폐루프 시스템의 안정도 해석을 위한 **argument principle** 적용: 경로가 Nyquist 경로라면, 함수  $F(s) = 1 + KG(s)$ 의 오른쪽 반평면에 존재하는 영점의 수  $Z$ 는,  $F(s) = 1 + KG(s)$ 의 극의 수  $P$ 에, 이 폐곡선이  $F(s)$  평면의 원점을 시계방향으로 감싸는 횟수  $N$ 을 더한 것과 같다.

$$Z = P + N \quad \rightarrow \quad F(s) \text{ 영점의 수} = F(s) \text{ 극의 수} + N$$

- Nyquist 안정도 판별법:  $Z = P + N$  적용 기준을 원점  $0 + 0j$ 에서  $-1 + 0j$ 로 변경하여 해석
  1. unstable closed-loop pole의 수 = unstable open-loop pole의 수 +  $(-1 + j0)$ 을 시계 방향으로 감싼 횟수
  2.  $P$ 가 0 이 아닐 경우, 시스템이 안정해 지기 위해서는  $Z = 0$ , 즉  $N = -P$ 가 되어야 한다.
  3.  $P = 0$ 일 경우, 시스템이 안정해 지기 위해서는  $-1 + j0$ 점을 감싸지 않아야 한다.
  4.  $G(j\omega)$  궤적이  $-1 + j0$ 점을 통과하면, 특성방정식의 근 또는 폐루프의 극이  $j\omega$ 축 상에 위치한다.
  5.  $-1 + j0$ 을 감싸지 않는다:  $s$ 평면의 오른쪽 반평면에서  $G(s)$ 의 극이 존재하지 않으면 안정하다.
  6.  $-1 + j0$ 을 반시계 방향으로 감싼 회전수와  $s$ 평면 오른쪽 반평면에 존재하는  $G(s)$ 의 극의 수가 같으면 시스템은 안정하다.
  7.  $-1 + j0$ 을 시계 방향으로 한번 혹은 한번 이상 감싼다: 시스템은 불안정하다.

- Procedure for Determining Nyquist Stability

1. Obtain Nyquist plot  $KG(s)$
2. Evaluate the number of clockwise encirclement of  $-1 + 0j$ , and call that number  $N$ . If the encirclements are in the counterclockwise direction,  $N$  is negative
3. Determine the number of unstable poles of  $KG(s)$ , and call that number  $P$ .
4. Calculate the number of unstable closed-loop poles  $Z$ :

$$Z = N + P$$

where it is noted that we hope to have  $Z = 0$  for the stability.

- Nyquist 경로에 대응하는 전달함수의 궤적을 그리는 방법의 기본 예 (Nyquist 선도)

1. 적분 및 미분 인자 :  $\frac{1}{j\omega}$  and  $j\omega$
2. 1차 인자 :  $\frac{1}{1+j\omega T}$  and  $1 + j\omega T$
3. 2차 인자 :  $\frac{1}{1+2\zeta\left(\frac{j\omega}{\omega_n}\right)-\left(\frac{\omega}{\omega_n}\right)^2}$  and  $1 + 2\zeta\left(\frac{j\omega}{\omega_n}\right) - \left(\frac{\omega}{\omega_n}\right)^2$

# 1. 적분 및 미분 인자 : $\frac{1}{j\omega}$ and $j\omega$

$$\frac{1}{j\omega} = -j\frac{1}{\omega} = \frac{1}{\omega} \angle -90^\circ$$

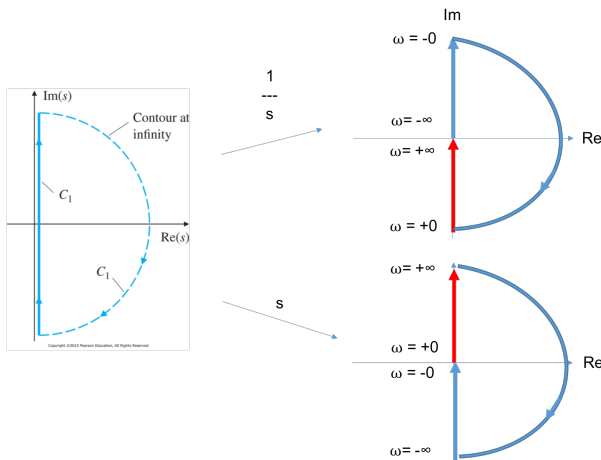
음의 허수축

- As  $\omega : +0 \rightarrow +\infty$ :  $\frac{1}{j\omega}$ 는 음의 허수축에 맵핑된다.
- As  $\omega : +\infty \rightarrow -\infty$  with radius  $\infty$ :  $\frac{1}{s} \approx \frac{1}{+\infty} = +0$ 으로 맵핑된다.
- As  $\omega : -\infty \rightarrow -0$ :  $\frac{1}{j\omega}$ 는 양의 허수축에 맵핑된다.
- As  $s : -0 \rightarrow +0$  with a radius  $\epsilon$ :  $\frac{1}{s} \approx \frac{1}{\epsilon} = +\infty$ 는 양의 무한대 반원으로 맵핑된다.

$$j\omega = \omega \angle 90^\circ$$

양의 허수축

- As  $\omega : +0 \rightarrow +\infty$ :  $j\omega$ 는 양의 허수축에 맵핑된다.
- As  $\omega : +\infty \rightarrow -\infty$  with radius  $\infty$ :  $s \approx +\infty$
- As  $\omega : -\infty \rightarrow -0$ :  $j\omega$ 는 음의 허수축에 맵핑.
- As  $s : -0 \rightarrow +0$  with a radius  $\epsilon$ :  $s \approx \epsilon = +0$



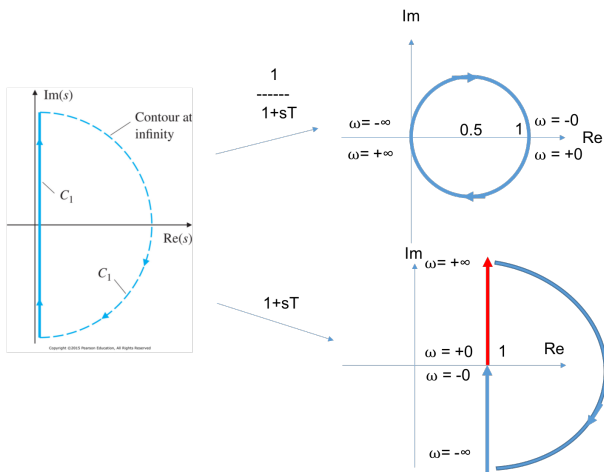
2. 1차 인자 :  $\frac{1}{1+j\omega T}$  and  $1 + j\omega T$

$$G(j\omega) = \frac{1}{1 + j\omega T} = \frac{1}{\sqrt{1 + \omega^2 T^2}} \angle -\tan^{-1} \omega T \quad (0.5, j0) \text{를 중심으로 반지름이 } 0.5 \text{인 반원}$$

- As  $\omega : +0 \rightarrow +\infty$ : 1에서 출발하여 아래쪽으로 반원을 그리고 0으로 접근
- As  $\omega : +\infty \rightarrow -\infty$  with radius  $\infty$ : 원점
- As  $\omega : -\infty \rightarrow -0$ : 0에서 출발하여 위쪽으로 반원을 그리고 1로 접근
- As  $s : -0 \rightarrow +0$  with a radius  $\epsilon$ : +1

$$G(j\omega) = 1 + j\omega T = \sqrt{1 + \omega^2 T^2} \angle \tan^{-1} \omega T \quad (1, j0) \text{을 지나는 허수축과 평행한 직선}$$

- As  $\omega : +0 \rightarrow +\infty$ :  $(1, j0)$ 을 지나고 양의 허수축에 평행하게 맵핑된다.
- As  $\omega : +\infty \rightarrow -\infty$  with radius  $\infty$ :  $1 + sT \approx +\infty$ 는 양의 무한대 반원으로 맵핑된다.
- As  $\omega : -\infty \rightarrow -0$ :  $1 + j\omega T$ 는  $(1, j0)$ 을 지나고 음의 허수축에 평행하게 맵핑된다.
- As  $s : -0 \rightarrow +0$  with a radius  $\epsilon$ :  $1 + sT \approx +1$



[증명]  $G(j\omega) = \frac{1}{1+j\omega T}$ 이 원이 됨을 증명하라

For given

$$G(j\omega) = \frac{1}{1+j\omega T} = \frac{1}{1+\omega^2 T^2} - j \frac{\omega T}{1+\omega^2 T^2} = X + jY$$

we have

$$\begin{aligned}(X - 0.5)^2 + Y^2 &= \frac{0.25 - 0.5\omega^2 T^2 + 0.25\omega^4 T^4}{(1 + \omega^2 T^2)^2} + \frac{\omega^2 T^2}{(1 + \omega^2 T^2)^2} \\ &= \frac{0.25 + 0.5\omega^2 T^2 + 0.25\omega^4 T^4}{(1 + \omega^2 T^2)^2} \\ &= 0.25 \\ &= 0.5^2\end{aligned}$$

$$\therefore (X - 0.5)^2 + Y^2 = 0.5^2$$



3. 2차 인자 :  $\frac{1}{1+2\zeta\left(\frac{j\omega}{\omega_n}\right)-\left(\frac{\omega}{\omega_n}\right)^2}$  and  $1+2\zeta\left(\frac{j\omega}{\omega_n}\right)-\left(\frac{\omega}{\omega_n}\right)^2$

$$G(j\omega) = \frac{1}{1+2\zeta\left(\frac{j\omega}{\omega_n}\right)-\left(\frac{\omega}{\omega_n}\right)^2} = \frac{1}{\sqrt{\left(1-\left(\frac{\omega}{\omega_n}\right)^2\right)^2+4\zeta^2\left(\frac{\omega}{\omega_n}\right)^2}} \angle -\tan^{-1} \frac{2\zeta\left(\frac{\omega}{\omega_n}\right)}{1-\left(\frac{\omega}{\omega_n}\right)^2}$$

원에 가까운 모양

$$G(j\omega) = 1+2\zeta\left(\frac{j\omega}{\omega_n}\right)-\left(\frac{\omega}{\omega_n}\right)^2 = \sqrt{\left(1-\left(\frac{\omega}{\omega_n}\right)^2\right)^2+4\zeta^2\left(\frac{\omega}{\omega_n}\right)^2} \angle \tan^{-1} \frac{2\zeta\left(\frac{\omega}{\omega_n}\right)}{1-\left(\frac{\omega}{\omega_n}\right)^2}$$

포물선에 가까운 모양

